

Вихри в невязкой ненжимаемой жидкости

Владислав Жвик

Семинар «Когомологические аспекты
геометрии дифференциальных уравнений»

Независимый Московский Университет

5 декабря 2018, Москва

Содержание

1. Введение
2. Класс двумерных автомодельных отрывных течений
3. Нестационарная аналогия
4. Несимметричные вихревые структуры на параболическом крыле

1. Введение

➤ Потенциальное течение $\boldsymbol{\omega} = 0 \Rightarrow \mathbf{V} = \nabla\varphi$

$$\Delta\varphi = 0$$

$$\varphi_t + \frac{V^2}{2} + \frac{p}{\rho} = \Phi(t) \quad \text{интеграл Коши-Лагранжа}$$

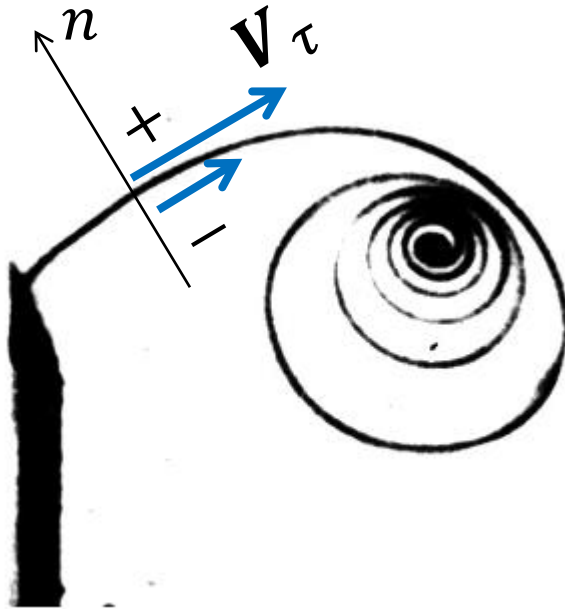
➤ Завихренное течение $\mathbf{V} = \text{rot} \mathbf{A} + \nabla\varphi$
 $\text{div} \mathbf{A} = 0$ калибровка

$$\Delta \mathbf{A} = -\boldsymbol{\omega} \Rightarrow \mathbf{A} = \frac{1}{4\pi} \int \frac{\boldsymbol{\omega}'}{|\mathbf{r} - \mathbf{r}'|} d\tau' \quad d\tau' - \text{элементарный объем}$$

$$\left\{ \begin{array}{l} \mathbf{V} = \frac{1}{4\pi} \int \frac{\boldsymbol{\omega}' \times (\mathbf{r} - \mathbf{r}')}{|\mathbf{r} - \mathbf{r}'|^3} d\tau' + \nabla\varphi \\ \boldsymbol{\omega}_t + (\mathbf{V}\nabla)\boldsymbol{\omega} = (\boldsymbol{\omega}\nabla)\mathbf{V} \Leftrightarrow \frac{d\boldsymbol{\omega}}{dt} = (\boldsymbol{\omega}\nabla)\mathbf{V} \end{array} \right. \quad \begin{array}{l} \text{уравнение} \\ \text{Гельмгольца} \end{array}$$

Вихревая пелена

$$\omega = \gamma(r)\delta(n)$$



Тангенциальный разрыв
скорости

$$[V_\tau] := V_{\tau+} - V_{\tau-} = \gamma \times e_n$$

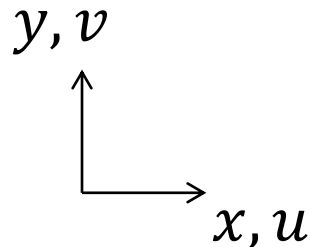
Границные условия на поверхности
вихревой пелены

$$[V_n] = 0 \quad [p] = 0$$

Точка вихревой пелены с постоянным разрывом потенциала
 $[\varphi] = \Gamma = \text{const}$ перемещается со скоростью $V_* = (V_+ + V_-)/2$

$$[p] = 0 \Rightarrow \left[\varphi_t + \frac{V^2}{2} \right] = 0 \Rightarrow [\varphi]_t + (V_* \nabla) [\varphi] = 0$$

Двумерные течения



$$z = x + iy \quad A = (0, 0, \psi) \quad \psi - \text{функция тока}$$

$$V = u + iv \quad \omega = (0, 0, \omega)$$

$$\left\{ \begin{array}{l} \Delta \psi = -\omega \Rightarrow \bar{V}(z) = u - iv = \frac{1}{2\pi i} \int \frac{\omega'}{z - z'} dS' + \bar{V}_\Pi \\ \frac{d\omega}{dt} = 0 \end{array} \right.$$

\bar{V}_Π - потенциальное течение

комплексный потенциал $w(z) = \varphi + i\psi$
(регулярная функция z)

Комплексно
сопряженная $\frac{dw}{dz} = \bar{V}$
скорость

скорость, индуцируемая
вихревой пеленой $z(\Gamma, t)$

$$\frac{dw}{dz} = \frac{1}{2\pi i} \int \frac{d\Gamma'}{z - z(\Gamma', t)}$$

уравнение эволюции
вихревой пелены $z(\Gamma, t)$

$$\frac{\partial \bar{z}(\Gamma, t)}{\partial t} = \frac{1}{2\pi i} \text{v. p.} \int \frac{d\Gamma'}{z(\Gamma, t) - z(\Gamma', t)}$$

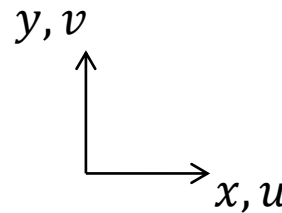
2. Класс двумерных автомодельных отрывных течений

Двумерные уравнения Эйлера

$$u_t + uu_x + vu_y + p_x = 0$$

$$v_t + uv_x + vv_y + p_y = 0$$

$$u_x + v_y = 0$$



Базис алгебры симметрий

$$X_1 = \partial_t$$

$$X_2 = y\partial_x - x\partial_y + v\partial_u - u\partial_v$$

$$X_3 = 2t\partial_t + x\partial_x + y\partial_y - u\partial_u - v\partial_v - 2p\partial_p$$

$$X_4 = t\partial_t + x\partial_x + y\partial_y$$

$$X_{f_1} = f_1(t)\partial_x + \dot{f}_1(t)\partial_u - x\ddot{f}_1(t)\partial_p$$

$$X_{f_2} = f_2(t)\partial_y + \dot{f}_2(t)\partial_v - y\ddot{f}_2(t)\partial_p$$

$$X_\varphi = \varphi(t)\partial_p$$

Однородность времени

Изотропия пространства

Масштабные
преобразования

Обобщенный принцип
относительности Галилея

Потенциальное силовое поле

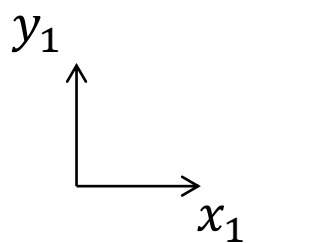
Определение показателя автомодельности n

$$X = (1 - n)X_3 + (2n - 1)X_4 =$$

$$t\partial_t + nx\partial_x + ny\partial_y + (n - 1)u\partial_u + (n - 1)v\partial_v + 2(n - 1)p\partial_p$$

Инварианты

$$I_1 = \frac{x}{t^n} \quad I_2 = \frac{y}{t^n} \quad I_3 = \frac{u}{t^{n-1}} \quad I_4 = \frac{v}{t^{n-1}} \quad I_5 = \frac{p}{t^{2(n-1)}}$$

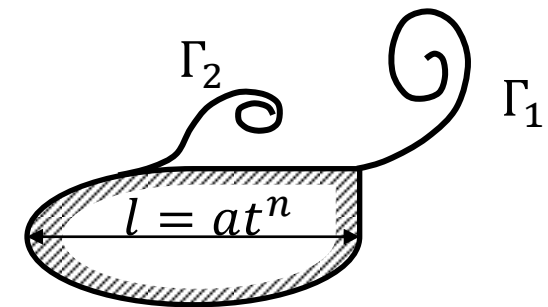


$$\mathbf{r}_1 = (x_1, y_1)$$

$$\mathbf{r} = (x, y)$$

$$\frac{1}{2} \leq n \leq 1$$

$$V_{1\infty} = bt^{n-1}$$



$$\mathbf{r}_1 = at^n \mathbf{r}$$

$$\mathbf{V}_1 = at^{n-1} \mathbf{V}(\mathbf{r})$$

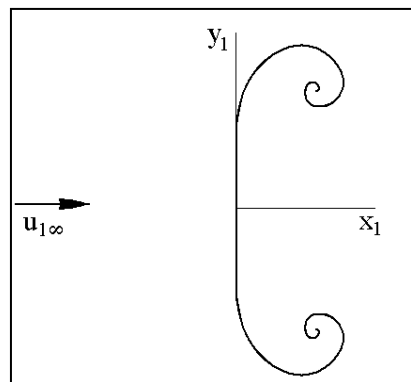
$$\Gamma = \oint \mathbf{V}_1 d\mathbf{r}_1 = a^2 t^{2n-1} G$$

$n = 1/2$ течение Никольского

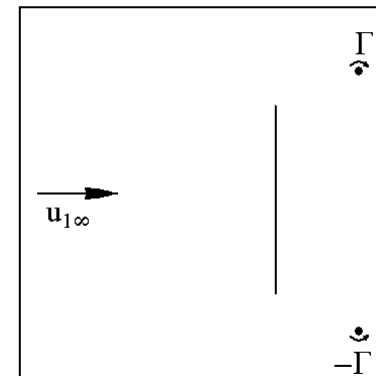
$\Gamma = a^2 G = \text{const}$ циркуляция не зависит от времени \Rightarrow вихревые пелены вырождаются в дискретные вихри

Обтекание расширяющейся пластины

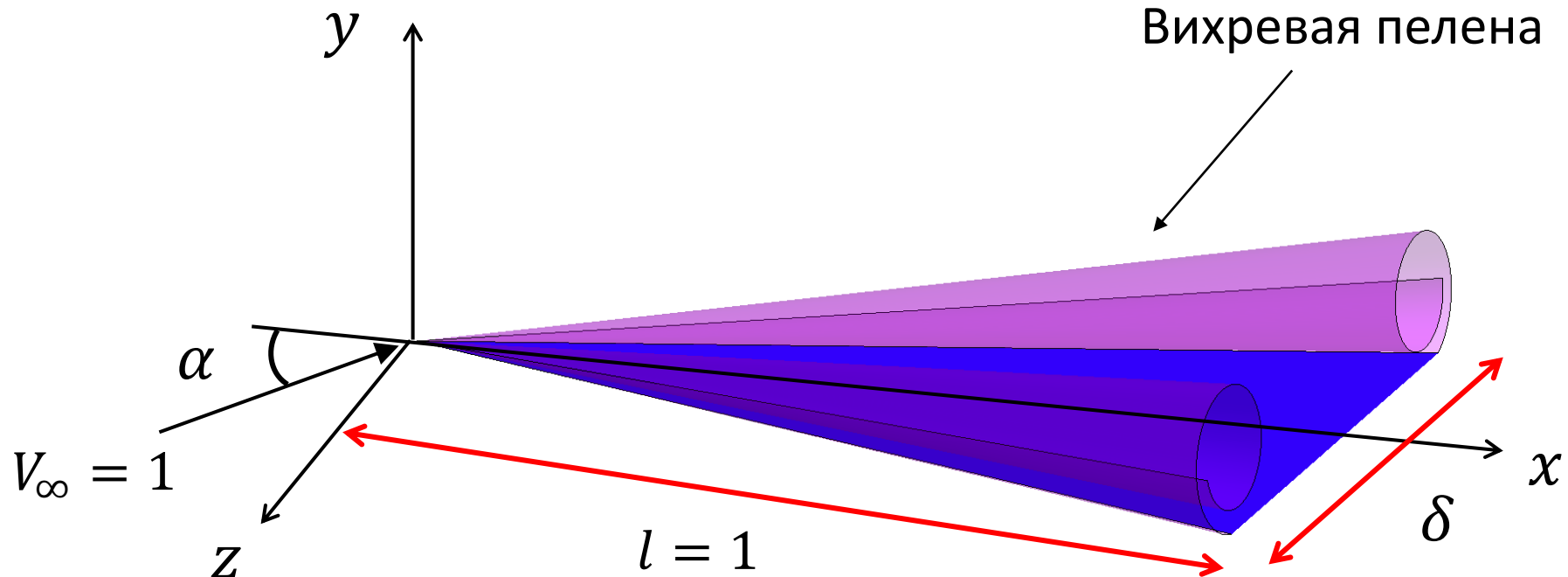
$$n > 1/2$$



$$n = 1/2$$



2. Нестационарная аналогия



стационарное течение

узкое тело $\delta \ll 1$

малый угол атаки $\alpha = O(\delta)$

$F(x, y, z) = 0$ поверхность тела и вихревых пелен

$$\Delta_3 \varphi = 0$$

непротекание

$$(\nabla_3 \varphi, \nabla_3 F) = 0$$

непрерывность давления на вихревой пелене

$$\left[\frac{(\nabla_3 \varphi)^2}{2} \right] = 0$$

Вихревая пелена

$$\nabla_3 = (\partial_x, \partial_y, \partial_z)$$

$$\Delta_3 = (\nabla_3, \nabla_3)$$

Рассмотрим две асимптотические области:

$$\Omega_2: x \sim y \sim z \sim O(1)$$

Решение в области Ω_2 имеет вид:

$$\varphi = x \cos \alpha + y \sin \alpha \approx x + \alpha y - \frac{\alpha^2}{2} x \quad \text{однородный поток}$$

$$\Omega_1: x \sim O(1), \quad y \sim z \sim O(\delta)$$

$$V = (u, v, w) \quad u \sim O(1), \quad v \sim w \sim O(\delta)$$

Введем новые переменные в области Ω_1 : $y_1 = y/\delta$ $z_1 = z/\delta$

$$v = \delta \cdot v_1 + o(\delta) \quad w = \delta \cdot w_1 + o(\delta) \quad v_1 \sim w_1 \sim O(1)$$

Решение в области Ω_1 имеет вид:

$$\varphi(x, y_1, z_1) = x + \delta^2 \varphi_1(x, y_1, z_1) + \mu(\delta) \varphi_2(x) + o(\delta^2)$$

Двумерная нестационарная задача

$$V_\infty = 1$$

$$\nabla_2 = (\partial_{y_1}, \partial_{z_1})$$

$$\Delta_2 = (\nabla_2, \nabla_2)$$

$$\Delta_2 \varphi_1 = 0$$

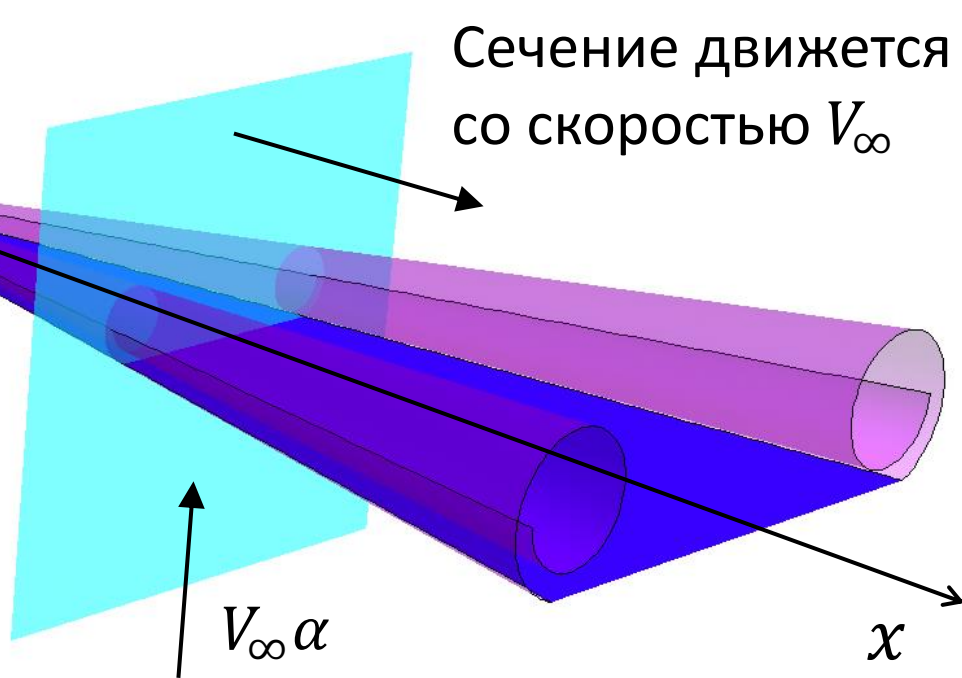
$$F_x + (\nabla_2 \varphi_1, \nabla_2 F) = 0$$

непротекание

x = время

$$\left[\varphi_{1x} + \frac{(\nabla_2 \varphi_1)^2}{2} \right] = 0$$

непрерывность давления
на вихревых пеленах



3. Несимметричные вихревые структуры на параболическом крыле

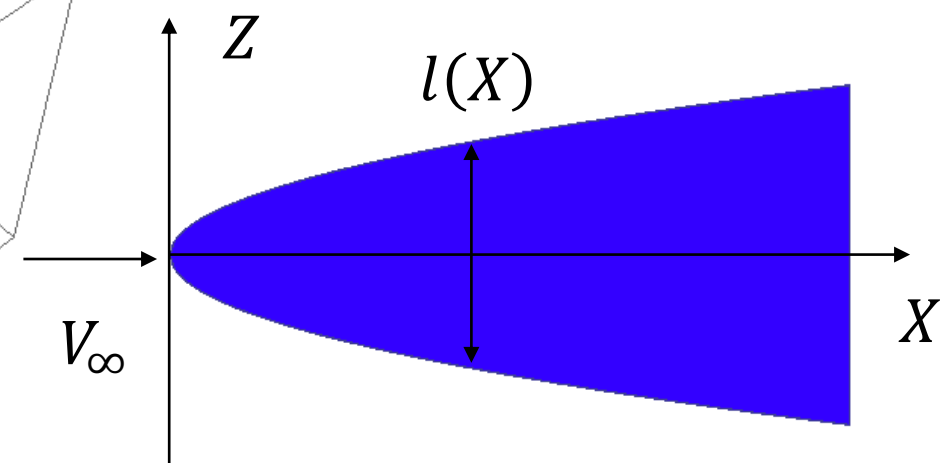
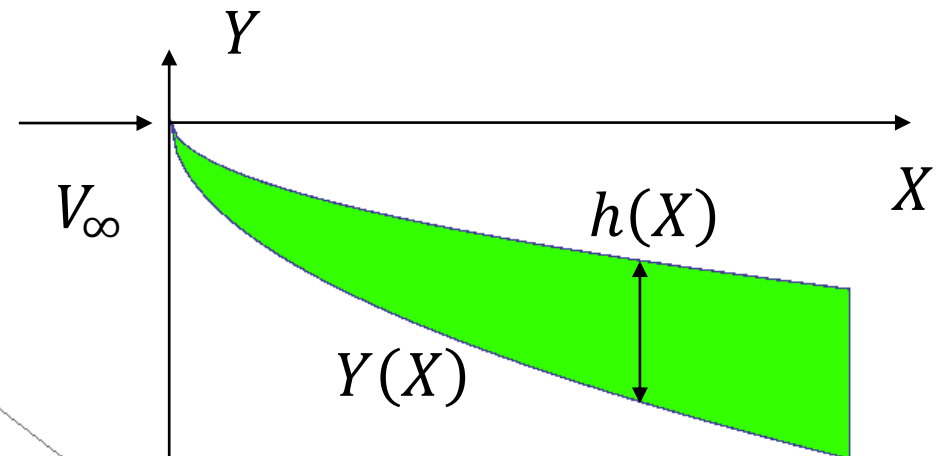
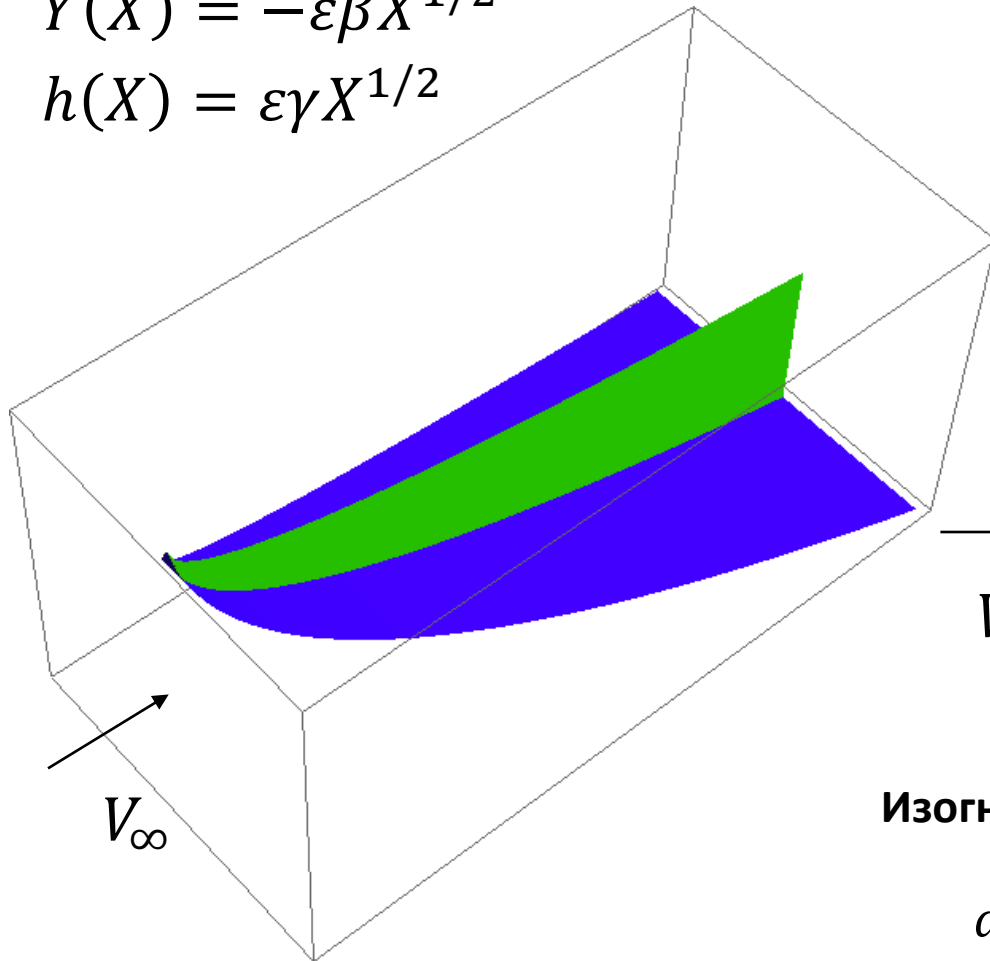
Параболическое крыло с перегородкой

Удлиненное тело $X_{max} \gg \varepsilon^2$

$$l(X) = 2\varepsilon\alpha X^{1/2}$$

$$Y(X) = -\varepsilon\beta X^{1/2}$$

$$h(X) = \varepsilon\gamma X^{1/2}$$



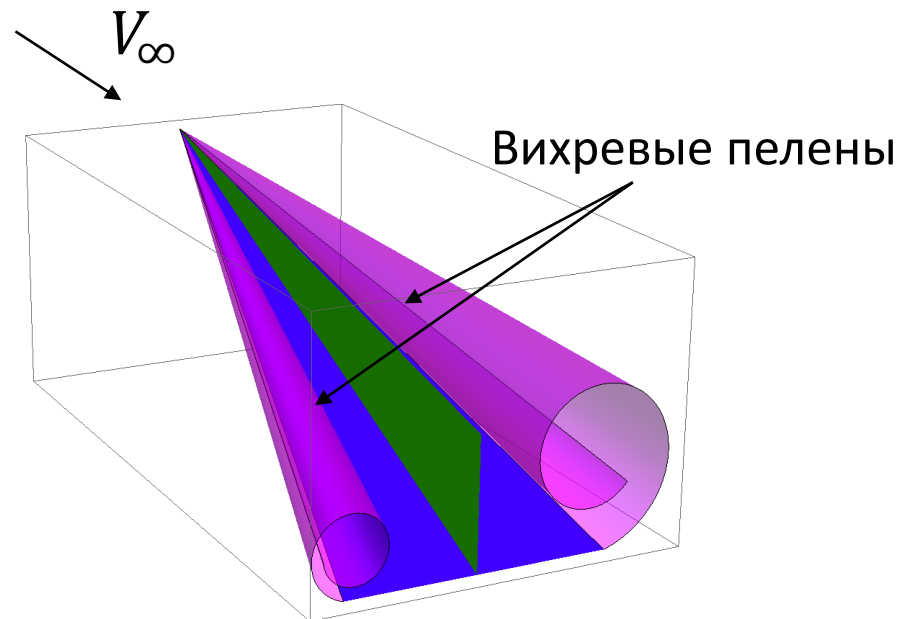
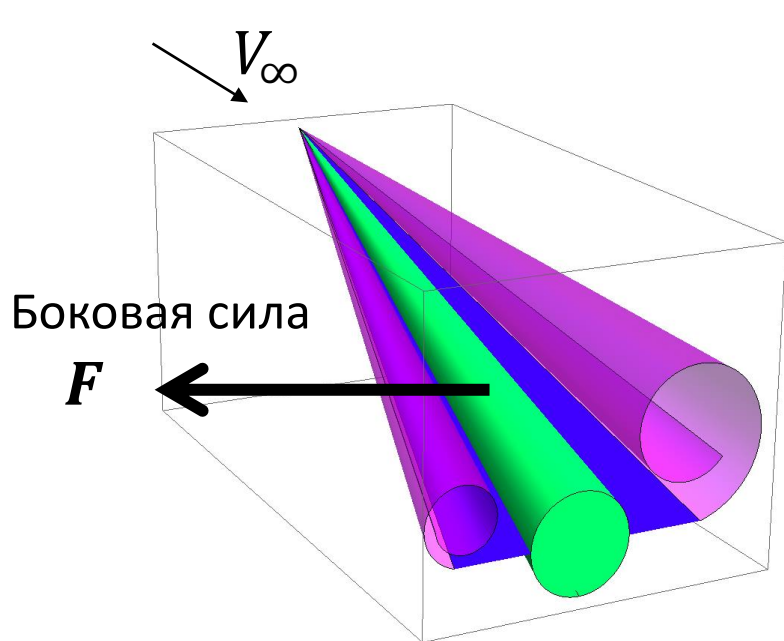
Изогнутость крыла

$$a_0 = \frac{\beta}{\alpha}$$

Высота перегородки

$$b = \frac{\gamma}{\alpha}$$

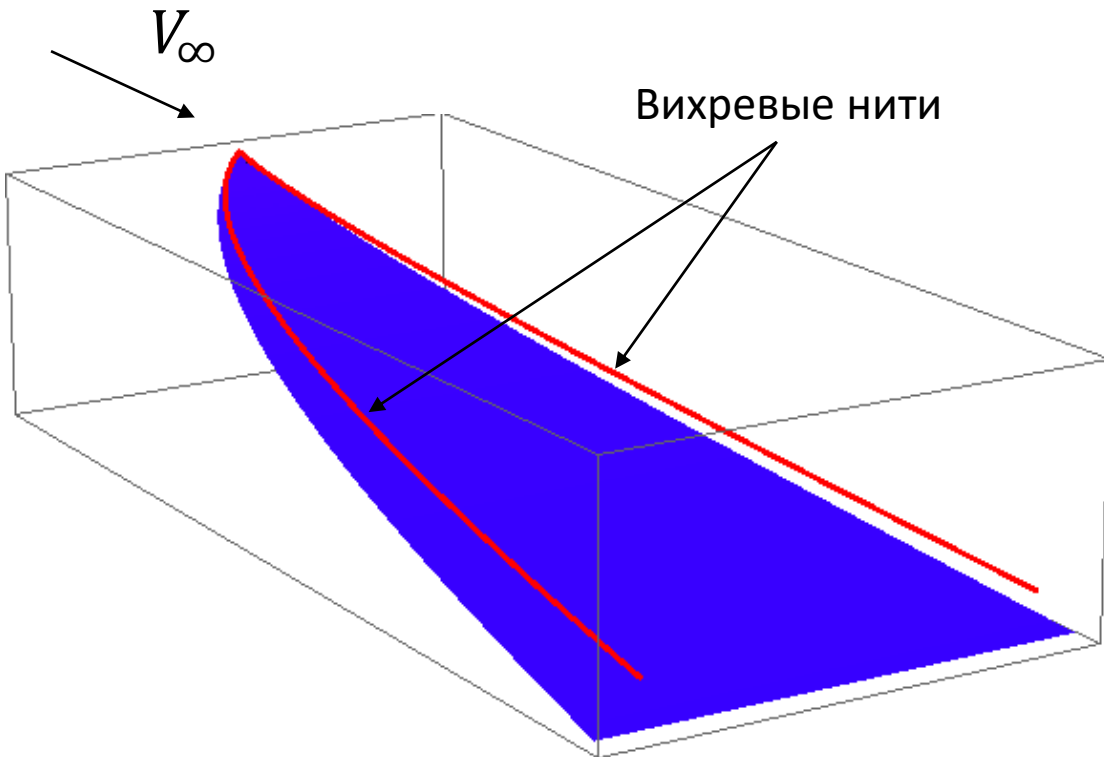
Несимметричные решения



- При достаточно больших углах атаки симметричное решение неустойчиво, и реализуется устойчивое несимметричное решение

Симметричное решение

Решение Никольского, Бетяева, Малышева



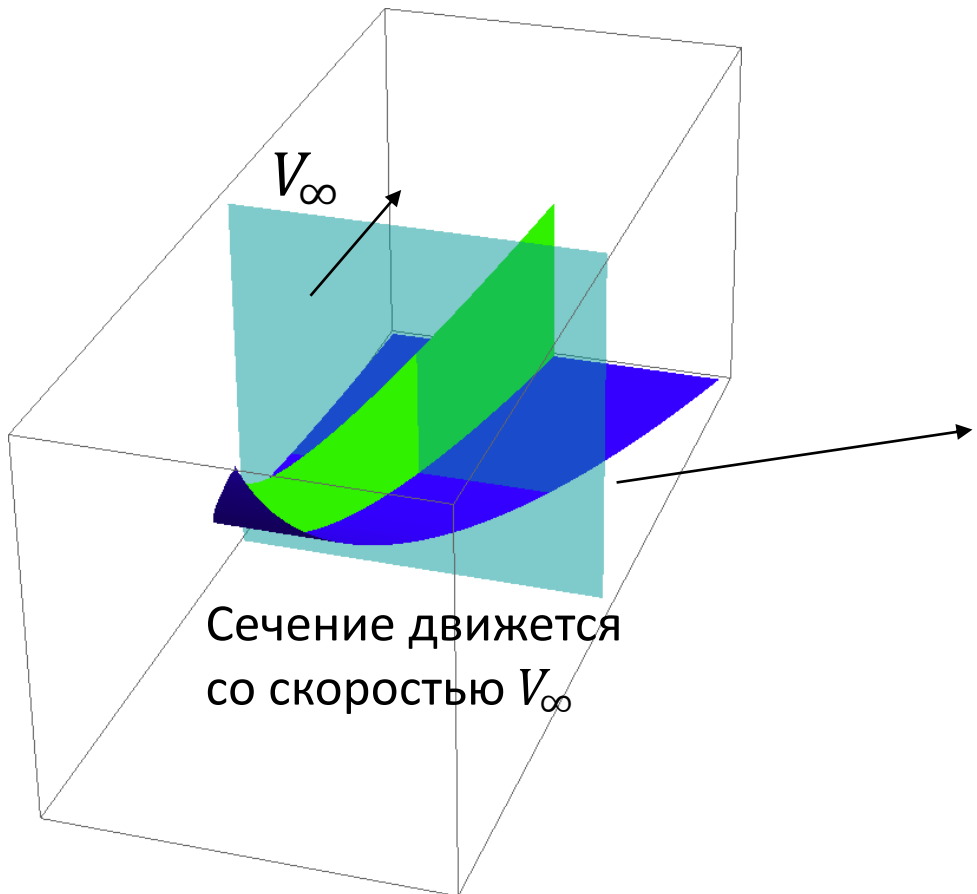
Эксперимент с лыжей
Никольского в гидротрубе



- Никольский А.А., Бетяев С.К., Малышев И.П. О предельной форме отрывного автомодельного течения идеальной жидкости // В сб.: Проблемы прикладной математики и механики. – М.: Наука, 1971.
- Бакулин В.Л., Гайфуллин А.М. Экспериментальное исследование течения в ядре вихревой структуры // Ученые записки ЦАГИ. 1987. Т. 18, № 4. С. 117-119.

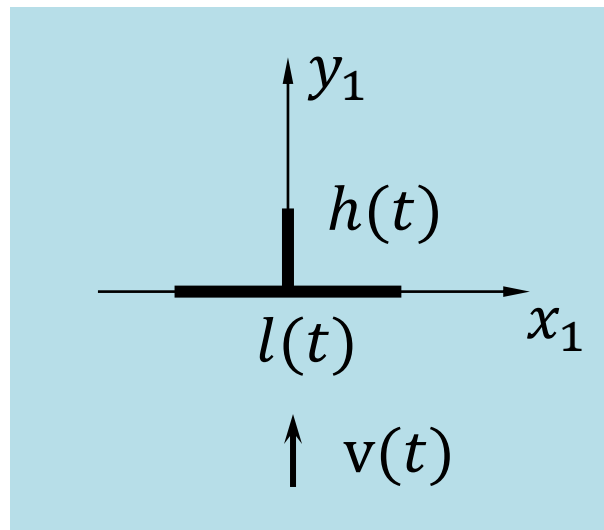
1. Применение нестационарной аналогии (нестационарная аналогия справедлива при $x \gg \varepsilon^2$, когда тело можно считать удлиненным)

Трехмерная задача



Плоская задача
(Расширяющаяся пластина
с перегородкой)

$$t = x/V_\infty$$



$$l(t) = 2at^{1/2} \quad a = \varepsilon\alpha V_\infty^{1/2}$$

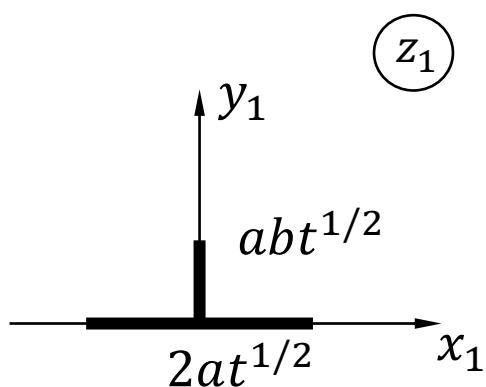
$$h(t) = abt^{1/2}$$

$$v(t) = \frac{1}{2}aa_0t^{-1/2}$$

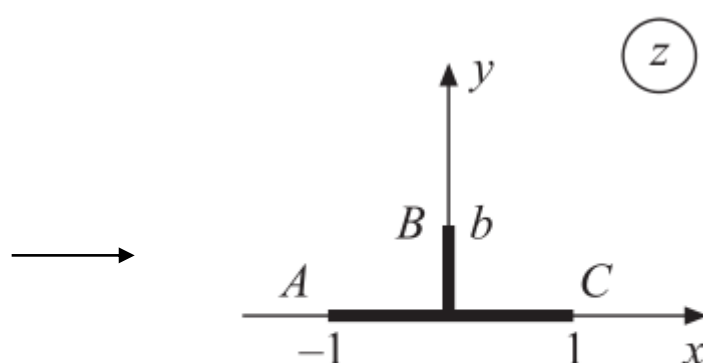
2. Переход к автомодельным переменным

- комплексная координата $z_1 = x_1 + iy_1 = at^{1/2}z$ $z = x + iy$
- вектор скорости $\mathbf{V}_1 = at^{-1/2}\mathbf{V}(z)$
- циркуляция $\Gamma = \oint \mathbf{V}_1 d\mathbf{r}_1 = a^2 G$
- комплексный потенциал $w_1 = a^2 w$

Физическая плоскость



Автомодельная плоскость

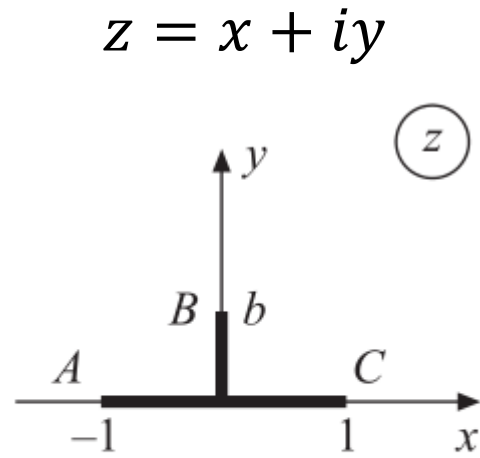


$$\uparrow \frac{1}{2}aa_0t^{-1/2}$$

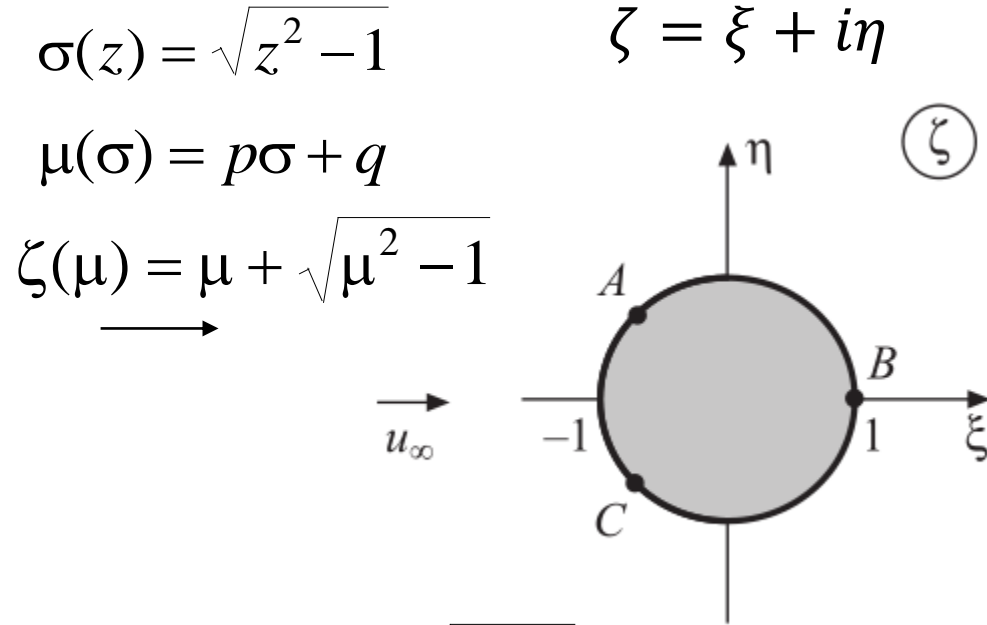
$$\uparrow \frac{a_0}{2}$$

3. Конформное отображение пластиинки с перегородкой в цилиндр

Автомодельная плоскость



Конформная плоскость



$$p = \frac{-2i}{1 + \sqrt{1 + b^2}} \quad q = \frac{1 - \sqrt{1 + b^2}}{1 + \sqrt{1 + b^2}}$$

Регулярные ветви корней выбраны условиями $\sigma(+\infty) = +\infty$, $\zeta(+\infty) = +\infty$

$$u_\infty = \frac{1 + \sqrt{1 + b^2}}{8} a_0$$

$$z_{A,C} = \mp 1 \quad \mapsto \quad \zeta_{A,C} = q \pm i\sqrt{1 - q^2}$$

$$z_B = ib \quad \mapsto \quad \zeta_B = 1$$

4. Вывод системы из 9 алгебраических уравнений

- Комплексный потенциал течения в конформной плоскости есть сумма потенциалов однородного потока, диполя в центре цилиндра, трех реальных вихрей в точках ζ_j и трех сопряженных вихрей в инверсных точках внутри цилиндра

$$\frac{dw}{d\zeta} = u_\infty \left(1 - \frac{1}{\zeta^2} \right) + \frac{1}{2\pi i} \sum_{j=1}^3 \left(\frac{G_j}{\zeta - \zeta_j} + \frac{-G_j}{\zeta - 1/\bar{\zeta}_j} \right) \quad \text{комплексно сопряженная скорость}$$

- Комплексно сопряженная скорость вихрей в физической плоскости (вихрь не может перемещать себя сам)

$$\frac{d\bar{z}_{1j}}{dt} = \lim_{z_1 \rightarrow z_{1j}} \left(\frac{dw_1}{dz_1} - \frac{1}{2\pi i} \frac{\Gamma_j}{z_1 - z_{1j}} \right) \quad \begin{array}{l} \text{номер вихря} \\ j = 1, 2, 3 \end{array} \quad (1)$$

- Уравнения (1) в автомодельных переменных (три комплексных уравнения) с учетом того, что в автомодельной плоскости вихри неподвижны

$$\frac{\bar{z}_j}{2} = \lim_{z \rightarrow z_j} \left(\frac{dw}{dz} - \frac{1}{2\pi i} \frac{G_j}{z - z_j} \right) \quad j = 1, 2, 3 \quad (2)$$

- Условия Чаплыгина-Жуковского о конечности скорости на кромках A, B, C (три вещественных уравнения)

$$\left. \frac{dw_1}{dz_1} \right|_{A, B, C} < \infty \Rightarrow \left. \frac{dw}{d\zeta} \right|_{A, B, C} = 0 \quad (3)$$

- Система уравнений (2), (3) сводится к девяти вещественным уравнениям относительно координат вихрей в конформной плоскости ζ_j и их циркуляций G_j

5. Система из 9 алгебраических уравнений

Условия неподвижности вихрей в автомодельной плоскости

$$\frac{\bar{z}_j}{2} \frac{1-1/\zeta_j^2}{2p} \frac{\sigma_j}{z_j} = u_\infty \left(1 - \frac{1}{\zeta_j^2} \right) + \frac{1}{2\pi i} \sum_{\substack{k=1 \\ k \neq j}}^3 \left(\frac{G_k}{\zeta_j - \zeta_k} - \frac{G_k}{\zeta_j - 1/\bar{\zeta}_k} \right) - \frac{1}{2\pi i} \frac{G_j}{\zeta_j - 1/\bar{\zeta}_j} + \frac{G_j}{2\pi i} A_j$$

$$A_j = \lim_{\zeta \rightarrow \zeta_j} \left(\frac{1}{\zeta - \zeta_j} - \frac{1}{z - z_j} \frac{dz}{d\zeta} \right) = -\frac{1-1/\zeta_j^2}{4p\sigma_j z_j^2} - \frac{1}{\zeta_j(\zeta_j^2 - 1)} \quad j = 1, 2, 3 - \text{номер вихря}$$

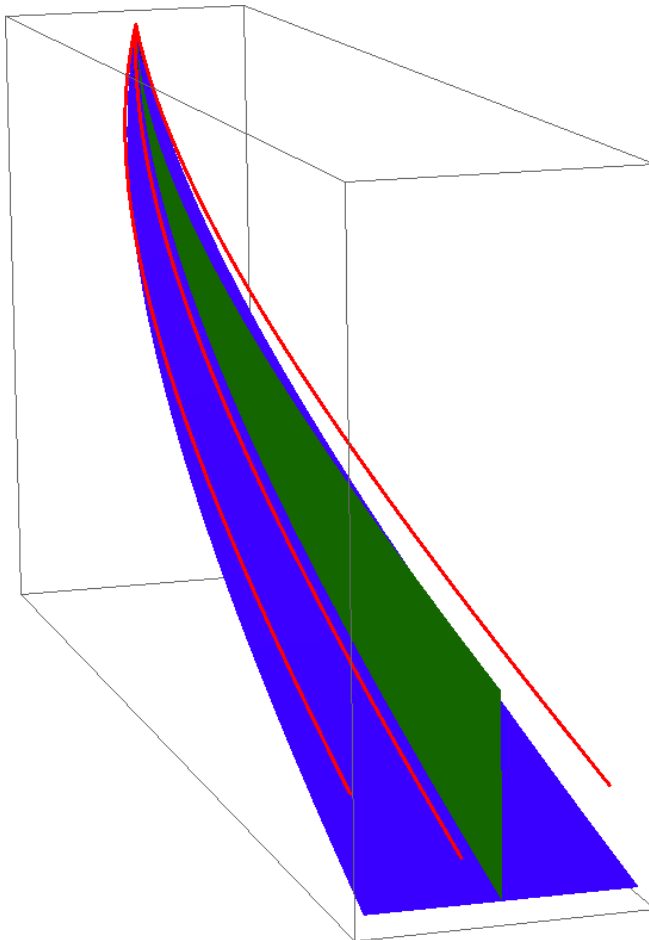
Конечная скорость на кромках

$$4\pi u_\infty \operatorname{Im} \zeta_m + \sum_{j=1}^3 G_j \frac{|\zeta_j|^2 - 1}{|\zeta_j - \zeta_m|^2} = 0 \quad m = A, B, C - \text{номер кромки}$$

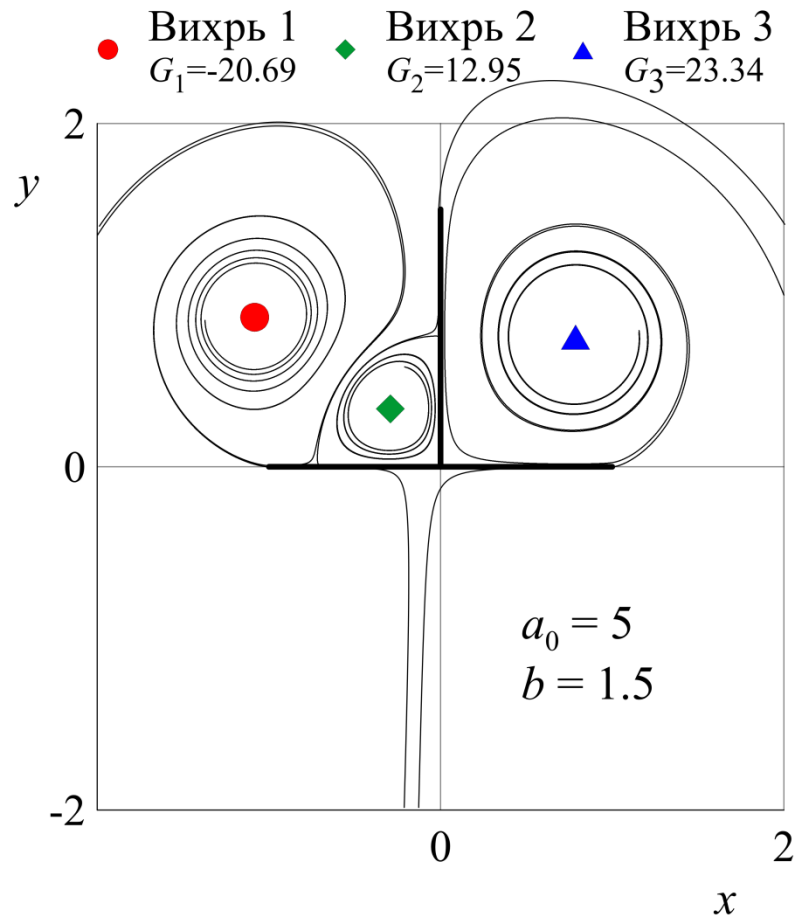
6. Координаты (ζ_j) и циркуляции (G_j) вихрей определяются путем численного решения полученной системы уравнений методом Ньютона

Пример несимметричного решения

➤ Положение вихревых нитей



➤ Автомодельные траектории – траектории фиксированных жидких частиц в автомодельной плоскости

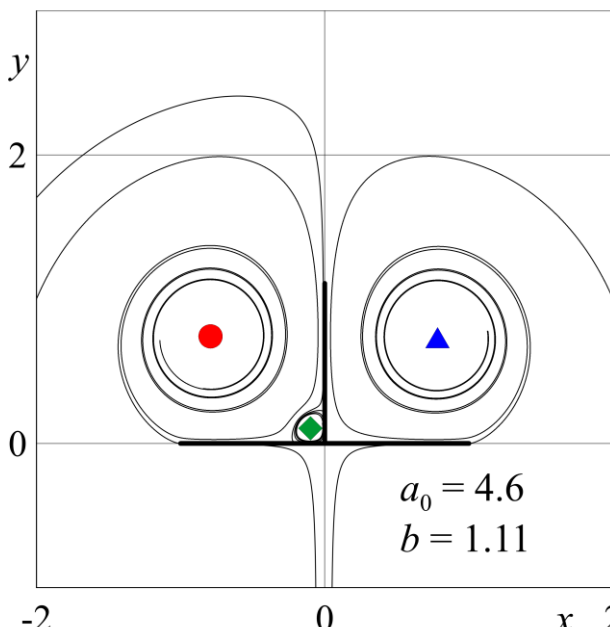


- При значениях изогнутости $a_0 < 2.8128$, по-видимому, не существует несимметричных решений
- При $2.8128 \leq a_0 \leq 4.6$ при уменьшении высоты перегородки b несимметричное решение непрерывно переходит в симметричное при некотором критическом значении b
- При $a_0 > 2.8128$ несимметричное решение стремится к несимметричному пределу при увеличении высоты перегородки

$$a_0 = 4.6$$

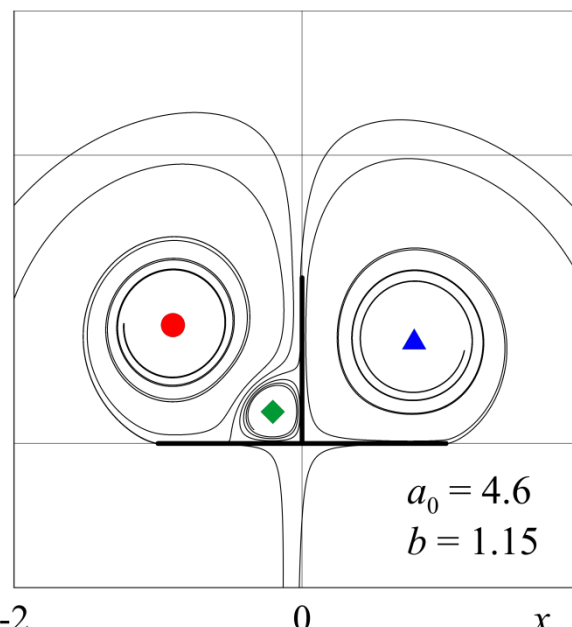
Слабонесимметричное
решение

● $G_1 = -20.22$ ◆ $G_2 = 2.44$ ▲ $G_3 = 20.37$



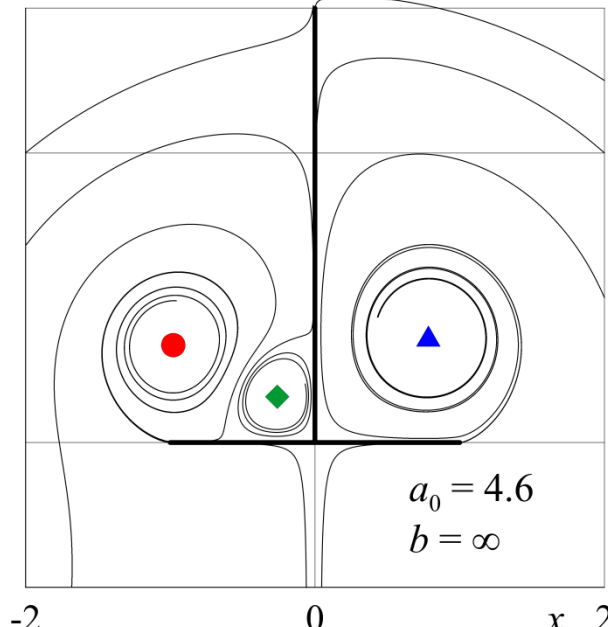
Промежуточное
решение

● $G_1 = -19.46$ ◆ $G_2 = 7.80$ ▲ $G_3 = 20.89$

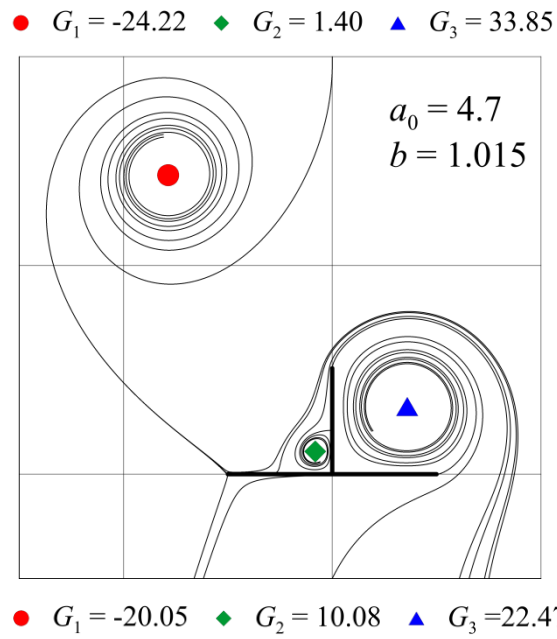
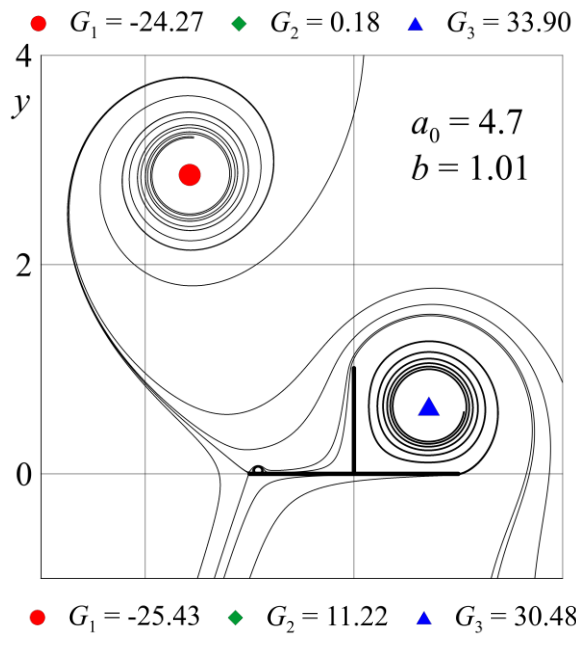


Предельное несимметричное
решение (при бесконечно
большой перегородке)

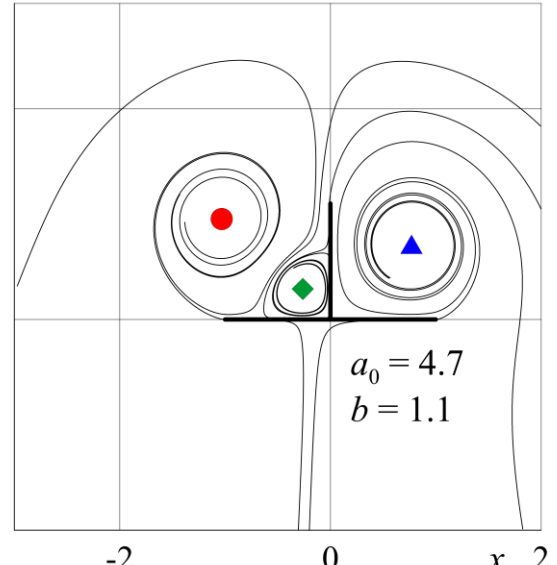
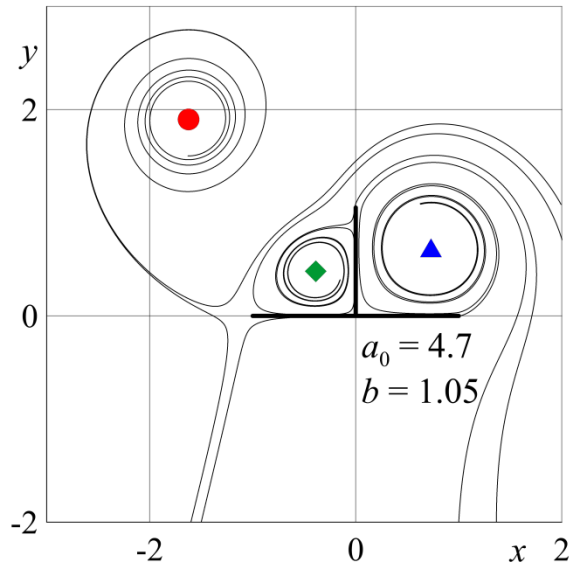
● $G_1 = -16.82$ ◆ $G_2 = 11.12$ ▲ $G_3 = 20.34$



➤ При $a_0 \geq 4.7$ отсутствует непрерывный переход к симметричному решению при уменьшении высоты перегородки



$a_0 = 4.7$



● $G_1 = -17.17$ ♦ $G_2 = 11.49$ ▲ $G_3 = 20.85$

